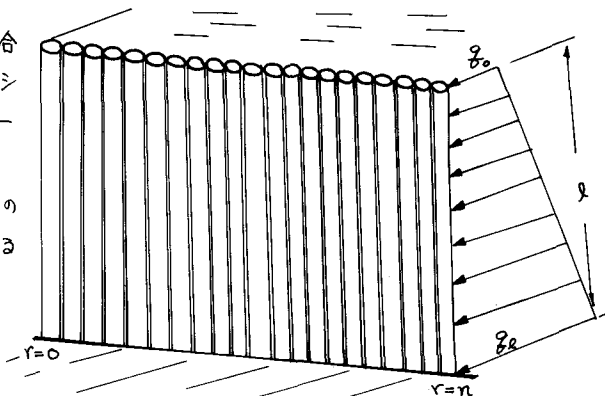


水平鋼管矢板構造の継手効果について

北海道大学 正員 能町純雄
 苫小牧高専 正員 ○澤田知之
 北海道開拓コアルタ 正員 佐藤 隆

1 まえがき

鋼管要素が互いに軸方向にヒンジ結合された弾性床の平面構造は、従来のシートパイルに替わり、剛性の大きいシートパイルとして用いられて來っている。本論は、この種の基礎構造の杭要素間の継手における joint 効率の評価を試みるものである。

2 解析概要

杭要素図

全体図

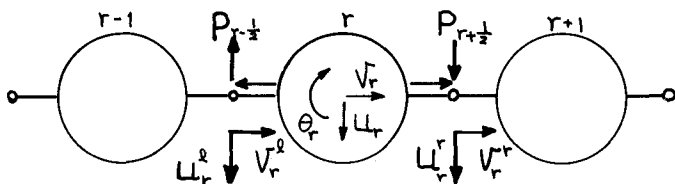


図-1

図-1 に示す如くに、変位、力の関係を取り、要素の断面は不变とする。又、ヒンジ継手は鋼管の直徑に付いているものとし、節点力と変位の関係は、joint 効率 k_T , k_N を、それぞれ接線方向、ラジアル方向(垂直方向)のずれに比例する伝達力の係数と考えれば

$$P_{r+\frac{1}{2}} = k_N \cdot [\{ U_{r+\frac{1}{2}}(x) - \theta_{r+\frac{1}{2}}(x) \cdot a \} - \{ U_r(x) + \theta_r(x) \cdot a \}] \quad (1)$$

$$T_{r+\frac{1}{2}} = k_T \cdot [\{ V_{r+\frac{1}{2}}(x) - \cos \theta_{r+\frac{1}{2}}(x) \cdot a \} - \{ V_r(x) - \cos \theta_r(x) \cdot a \}] \quad (2)$$

よって、水平、垂直、捩りの各々の力の均り合い式は、次の 3 式で示される。

$$EI \cdot U_r''(x) + K \cdot D \cdot U_r(x) = N_r(x) + (P_{r+\frac{1}{2}} - P_{r-\frac{1}{2}}) \quad (3)$$

$$EI \cdot V_r''(x) + K \cdot D \cdot V_r(x) = T_r(x) + (T_{r+\frac{1}{2}} - T_{r-\frac{1}{2}}) \quad (4)$$

$$GJ \cdot \ddot{\theta}_r(x) = M_r(x) + (P_{r+\frac{1}{2}} + P_{r-\frac{1}{2}}) \cdot a \quad (5)$$

ここで、 EI : 曲げ剛性 $\text{kg} \cdot \text{cm}^2$ N_r, T_r, M_r : 各々の方向における外力 (分布力)

D : 鋼管直徑 cm

K : 地盤反力係数 kg/cm^3

GJ : 捣り剛性 $\text{kg} \cdot \text{cm}^2$

$U_r''(x) = \partial^2 U_r(x) / \partial x^2$

$V_r''(x) = \partial^2 V_r(x) / \partial x^2$

$\ddot{\theta}_r(x) = \partial^2 \theta_r(x) / \partial x^2$

a : 鋼管半径 + 継手長 cm

$\theta_r(x) = \partial^2 \theta_r(x) / \partial x^2$

故に、(3)(4)(5)を(1)(2)を代入して整理すると

$$EI \cdot \ddot{U}_r(x) + KD \cdot U_r(x) = N_r(x) + K_N \cdot [A^2 U_{r-1}(x) - a \cdot A \theta_{r-1}(x)] \quad (6)$$

$$EI \cdot \ddot{V}_r(x) + KD \cdot V_r(x) = T_r(x) + K_T \cdot [A^2 V_{r-1}(x) - a \{ \cos \theta_{r-1}(x) - 2 \cos \theta_r(x) + \cos \theta_{r+1}(x) \}] \quad (7)$$

$$GJ \cdot \ddot{\theta}_r(x) = M_r(x) + K_N \cdot [a \cdot A U_r(x) - a^2 \{ A^2 \theta_{r-1}(x) + 4 \theta_r(x) \}] \quad (8)$$

$$\text{尚, ここで } D_i = 2(1 - \cos \frac{i\pi}{n}) \quad \Delta U_r = U_{ri} - U_r \quad A^2 U_{r-1} = U_{r+1} - 2U_r + U_{r-1}$$

$$\Delta U_r = U_{ri} - U_{r-1}$$

この構造では、面内力が作用していないので、 $T_r = 0$ とおくことが出来る。従って(7)式から $V_r = 0$ となる。とにかく、式は軸方向には連続関数、水平方向には離散的変数で表現される微分差分方程式を解くことになり、帰着する。このため軸方向に有限 Fourier-Sine 変換を、水平方向には Fourier 定和分変換を施して、その像関数を求め、軸方向に有限 Fourier 逆変換を施せば、次の様になる。

$$\begin{aligned} S_i[U_r(x)] &= \frac{2}{\pi} \frac{l^2}{\pi^2} \sum_{m=1}^{\infty} \frac{m(m^2 - \varepsilon^2)}{m^6 - \varepsilon^2 m^4 + \lambda^4 m^2 + \mu^4} \left\{ (-1)^m [S_i[\dot{U}_r(\ell)] - S_i[\dot{U}_r(0)]] \cdot \sin m\pi \right\} \\ &- \frac{2}{\pi} \sum_{m=1}^{\infty} \left\{ \frac{1}{m} - \frac{\lambda^4 m^2 + \mu^4}{m(m^6 - \varepsilon^2 m^4 + \lambda^4 m^2 + \mu^4)} \right\} \left\{ (-1)^m [S_i[U_r(\ell)] - S_i[U_r(0)]] \cdot \sin m\pi \right\} \\ &- \frac{\ell^4 k_N}{\pi^5 EI} \sum_{m=1}^{\infty} \frac{m}{m(m^6 - \varepsilon^2 m^4 + \lambda^4 m^2 + \mu^4)} \left\{ (-1)^m [R_i[\theta_r(\ell)] - R_i[\theta_r(0)]] \cdot \sin m\pi \right\} \\ &+ \frac{n \ell^4}{\pi^5 EI} \sum_{m=1}^{\infty} \frac{m^2 - \varepsilon^2}{m(m^6 - \varepsilon^2 m^4 + \lambda^4 m^2 + \mu^4)} \left\{ g_0 - (-1)^m g_\ell \right\} \cdot \sin m\pi \quad (9) \end{aligned}$$

$$\begin{aligned} R_i[\theta_r(x)] &= - \frac{4l^2 V^2}{\pi^3} \cdot \sin \frac{i\pi}{n} \sum_{m=1}^{\infty} \frac{m}{m(m^6 - \varepsilon^2 m^4 + \lambda^4 m^2 + \mu^4)} \left\{ (-1)^m [S_i[\dot{U}_r(\ell)] - S_i[\dot{U}_r(0)]] \cdot \sin m\pi \right\} \\ &+ \frac{4}{\pi} V^2 \cdot \sin \frac{i\pi}{n} \sum_{m=1}^{\infty} \frac{m^3}{m(m^6 - \varepsilon^2 m^4 + \lambda^4 m^2 + \mu^4)} \left\{ (-1)^m [S_i[U_r(\ell)] - S_i[U_r(0)]] \cdot \sin m\pi \right\} \\ &- \frac{2}{\pi} \sum_{m=1}^{\infty} \left\{ \frac{1}{m} - \frac{-\varepsilon^2 m^4 + \mu^4}{m(m^6 - \varepsilon^2 m^4 + \lambda^4 m^2 + \mu^4)} \right\} \left\{ (-1)^m [R_i[\theta_r(\ell)] - R_i[\theta_r(0)]] \cdot \sin m\pi \right\} \\ &- \frac{n l^2 V^2}{\pi^5 EI} \sin \frac{i\pi}{n} \sum_{m=1}^{\infty} \frac{1}{m(m^6 - \varepsilon^2 m^4 + \lambda^4 m^2 + \mu^4)} \left\{ g_0 - (-1)^m g_\ell \right\} \cdot \sin m\pi \quad (10) \end{aligned}$$

$$\text{ここで, } V^2 = \frac{K_N}{GJ} \cdot a^2 \cdot \frac{l^2}{\pi^2}$$

$$\lambda^4 = \frac{k_N \cdot \ell^4}{EI \cdot \pi^4} \cdot \left(-\frac{K_D}{k_N} + D_i \right)$$

$$\varepsilon^2 = V^2 \cdot (4 - D_i)$$

$$\mu^4 = 2(1 + \cos \frac{i\pi}{n}) \cdot D_i \cdot \frac{k_N \cdot \ell^4}{EI \cdot \pi^4} \cdot V^2$$

$$\lambda^4 = 5^4 - \varepsilon^2 \lambda^4$$

$$\bar{x} = \frac{1}{\ell} \cdot x \quad \ell: \text{鋼管長 cm} \quad x: \text{鋼管天端より往復の距離 cm}$$

上式中、 $S_i[U_r(x)]$, $R_i[\theta_r(x)]$ は、 $U_r(x)$, $\theta_r(x)$ の Fourier 定和分変換で右辺の {} の中は柱の上・下端の境界条件から決定される値である。4 項目は いずれも図-1 からの様な、台形分布の土圧等による荷重項である。

3. 境界条件

今、天端($x=0$)で自由、下端($x=l$)で固定とし、各々 根元(下端)で変位が無いこと($\ddot{u}_r(l)=0$)と、たわみ角が無い($\dot{\theta}_r(l)=0$)ということ。及び 天端での剪断力の均り合い、 $EI \cdot \ddot{u}_r(0) + GJ \cdot \dot{\theta}_r(0) = P$ の 3式より 境界値を知る。整理すると (11) の如く示される。

$$\begin{array}{|c|c|c|} \hline A_{11} & A_{12} & A_{13} \\ \hline A_{21} & A_{22} & A_{23} \\ \hline A_{31} & A_{32} & A_{33} \\ \hline \end{array} \left. \begin{array}{l} S_1[\ddot{u}_r(0)] \\ S_2[\ddot{u}_r(l)] \\ R[\dot{\theta}_r(0)] \end{array} \right\} = \begin{array}{l} Q_1 \\ Q_2 \\ Q_3 \end{array} \quad (11)$$

$$\begin{aligned} A_{11} &= \frac{2l^2}{\pi^3} \cdot G11(0) \\ A_{12} &= \frac{2}{\pi} \cdot F21(0) \\ A_{13} &= \frac{4a l^4}{\pi^5 EI} \cdot K_N \cdot \sin \frac{\pi l}{a} \cdot F31(0) \\ A_{21} &= \frac{2l^2}{\pi^3} \cdot G11(1) \\ A_{22} &= \frac{2}{\pi} \cdot F21(1) \\ A_{23} &= \frac{4a l^4}{\pi^5 EI} \cdot K_N \cdot \sin \frac{\pi l}{a} \cdot F31(1) \\ A_{31} &= \frac{2l^2}{\pi^3} \cdot G13(0) - \frac{4a l^4}{\pi^5 EI} \cdot K_N \cdot G11(0) \\ A_{32} &= \frac{2}{\pi} \cdot F23(0) - \frac{4K_N a}{\pi^5 EI} \cdot G11(1) \\ A_{33} &= \frac{4a^2 K_N a}{\pi^5 EI} \cdot S1 \cdot F33(0) - \frac{2 \cdot g \cdot l}{\pi EI} \cdot G31(1) \end{aligned}$$

$F21, G11$ 等は式(9)(10)における境界値に $mB \cdot \sin m\pi/3, \cos m\pi/3$ の不齊の収束和で表わされる係数のことについての1回又は3回偏微分したものを示す。

$Q1, Q2, Q3$ は、土圧等による荷重項である。

4. 数値計算例

今、数値計算例として、長さ3m、鋼管直徑80cmのものを8本よりなる構造を考え、その変位図とモーメント図を各々図-2、図-3に示す。

尚、地盤反力係数は0.8kg/cm²とし、外力は、天端までの3角分布土圧がかかるものとした。図から変位に於いては、一本杭として角早く値より、最大でて割合の値を示し(天端)。モーメントにおいても、一本杭の角早くより小さな値を示してあり。弾性床上の梁の傾向を表わす。これは、 K_N (地盤効率)が大きな程、顯著に示され継手の効果が表われる。又、図は $I=1$ 次の変形状態の場合を示したが、 $I=N-1$ 次の状態までの結果及び K_N の変化による状態など、その他の計算結果検討の報告は、発表当日行なう予定である。

数値計算は、西日本高専 HITAC 8250 及び北大大型計算機センター FACOM 230-60/5により行なった。

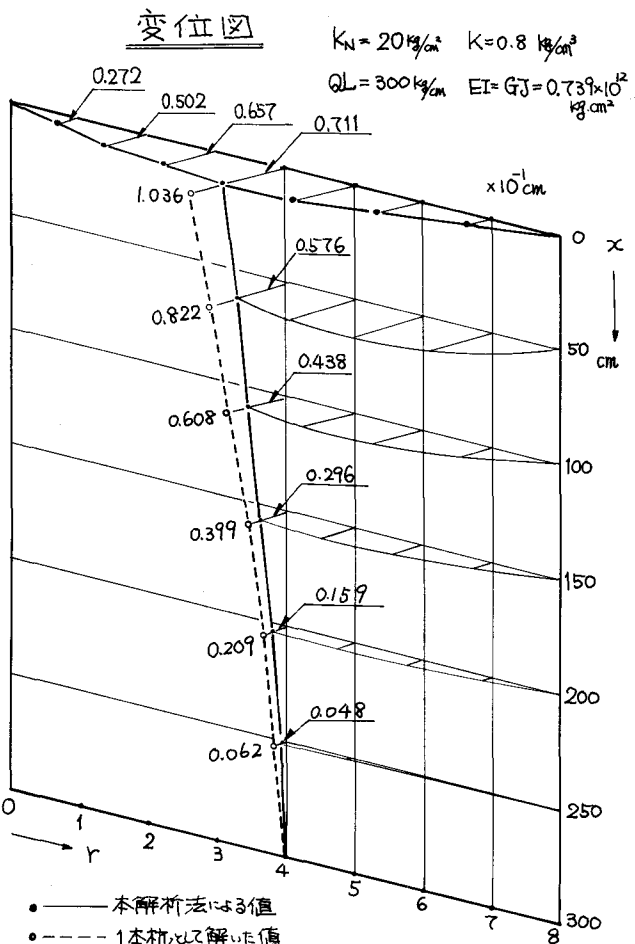


図-2

5. 結び

[X]-3

以上、鋼管パイプ構造物に、要素1本1本の寄動を含めて、構造工学的検討を加えることが出来る。一見して複雑な形に見えるが、理論過程が明解で、プログラム化にも適しており、同種構造体の応力解析の有力な武器であると考える。

参考文献

- 1). S.G. Nōmachi :
A note on Finite Fourier Transforms
Concerning Finite Integration
(The Transcript from the Memories)
(of the Muroran Institute of Technology)
(Vol. 5 No. 2)
- 2). 板式基礎の設計と施工指針:
(板式基礎研究委員会 1972. 1.)
- 3). 能町・松岡・澤田:
スパン方向のヒンジで結合された棒状要素による面構造の応力について
(第25回年次学術講演会講演集)
(第1部 1972. 11.)
- 4). S.G. Nōmachi and K.G. Matsuoka: Some Formulas Derived from Finite Integration
(The Transcript from the Memories of the Muroran Institute of Technology Vol. No. 3)
- 5). 能町・澤田: 板構造物の荷重分担について
(土木学会 第30回年次学術講演会概要集 I-96)

